

Katowice, dn. 2022-05-20

T-Mobile Polska S.A.
ul. Marynarska 12
02-674 Warszawa

Pełnomocnik:

Pełnomocnictwo numer:
157 /01/21 z dnia: 2021-01-13

dane do korespondencji:

NetWorkS! Sp. z o.o.
ul. Al. Rozdzieńskiego 188H
40-203 Katowice
tel. 506401383

Starosta Powiatu w Nowym Sączu

ul. Jagiellońska 33

33-300 Nowy Sącz

Dotyczy: ustawowego obowiązku, wynikającego z art. 152 ust. 1 i ust. 7 w związku z ust. 6 pkt 1c ustawy z dnia 27 kwietnia 2001r – Prawo ochrony środowiska (Dz.U. z 2021r. poz. 1973 z późn. zm.).

Działając z upoważnienia T-Mobile Polska S.A. z siedzibą ul. Marynarska 12, 02-674 Warszawa, **informuję o zmianie danych w zakresie wielkości i rodzaju emisji** dla instalacji radiokomunikacyjnej **57263 (26263N!) KNO_STARYSACZ_PODEGRODZIE** zlokalizowanej w miejscowości STARY SĄCZ, PODEGRODZKA DZ.640. W stosunku do informacji zawartej w zgłoszeniu realizowanym dla tej instalacji w trybie art. 152 ust. 1 i 5 ustawy z dnia 27 kwietnia 2001r – Prawo ochrony środowiska (Dz.U. z 2021r. poz. 1973 z późn. zm.), dane ulegają zmianie w następujący sposób:

9. Wielkość i rodzaj emisji²⁾:

Pole elektromagnetyczne. EIRP poszczególnych anten zostało podane w pkt 12, tj.

Lp.	Równoważna moc promieniowana izotropowo (EIRP) [W]
1.	3883
2.	9915
3.	9953
4.	3883

Lp.	Równoważna moc promieniowana izotropowo (EIRP) [W]
5.	9915
6.	9953
7.	3883
8.	9915
9.	9953
10.	15
11.	399
12.	4
13.	2345/6310

12. Szczegółowe dane, odpowiednio do rodzaju instalacji, zgodne z wymaganiami określonymi w załączniku nr 2 do Rozporządzenia:

Lp. ³⁾	1)	2)	3)	4)	5)	
	Współrzędne geograficzne	Częstotliwość lub zakresy częstotliwości pracy instalacji [MHz]	Wysokość środka elektrycznego anteny [m n.p.t.]	Równoważna moc promieniowana izotropowo (EIRP) [W]	Azymut [°]	Kąt pochylenia lub zakresy kątów pochylenia [°]
1.	20°37'5.7" 49°34'14.2"	900	61.8	3883	110	5
2.	20°37'5.7" 49°34'14.2"	1800/2100	61.8	9915	110	3/3
3.	20°37'5.7" 49°34'14.1"	800/2600	61.8	9953	110	5/5
4.	20°37'5.6" 49°34'14.2"	900	61.8	3883	230	4
5.	20°37'5.7" 49°34'14.1"	1800/2100	61.8	9915	230	1/1
6.	20°37'5.6" 49°34'14.2"	800/2600	61.8	9953	230	4/3.5
7.	20°37'5.6" 49°34'14.2"	900	61.8	3883	335	2
8.	20°37'5.6" 49°34'14.2"	1800/2100	61.8	9915	335	2/2
9.	20°37'5.7" 49°34'14.2"	800/2600	61.8	9953	335	4/3.5
10.	20°37'5.61" 49°34'14.16"	38000	59.9	15	64*	nd.
11.	20°37'5.61" 49°34'14.16"	80000	59	399	78*	nd.

Lp. ³⁾ Lp.	1)	2)	3)	4)	5)	
	Współrzędne geograficzne	Częstotliwość lub zakresy częstotliwości pracy instalacji [MHz]	Wysokość środka elektrycznego anteny [m n.p.t]	Równoważna moc promieniowana izotropowo (EIRP) [W]	Azymut [°]	Kąt pochylenia lub zakresy kątów pochylenia [°]
12.	20°37'5.61" 49°34'14.16"	38000	60	4	238*	nd.
13.	20°37'5.61" 49°34'14.16"	23000/80000	59.9	2345/6310	243*	nd.

*) tolerancja azymutu od -10° do +10°.

Informuję, iż dokonane zmiany w zakresie wielkości i rodzaju emisji przedmiotowej instalacji nie powodują zmiany instalacji w sposób istotny zgodnie z art. 3 pkt 7 ustawy Poś.

Jednocześnie informuję, iż analizowane przedsięwzięcie nadal **nie kwalifikuje się** do przedsięwzięć mogących znacząco oddziaływać na środowisko biorąc pod uwagę, iż w osi głównych wiązek promieniowania anten sektorowych w odległościach podanych w Rozporządzeniu Rady Ministrów z dnia 10 września 2019r. w sprawie przedsięwzięć mogących znacząco oddziaływać na środowisko /Dz.U. 2019 poz. 1839 ze zm./ nie znajdują się miejsca dostępne dla ludności.

W załączniku przesyłam:

1. Pełnomocnictwo
2. Kopia potwierdzenia wniesienia opłaty skarbowej.

Otrzymują:

1. a/a
2. adresat



Laboratorium Badań Środowiskowych
ul. Józefa Piusa Dziekońskiego 3
00-728 Warszawa
e-mail: Laboratorium@networks.pl



AB 419

S P R A W O Z D A N I E 2595/2022/OS
Z POMIARÓW PÓL ELEKTROMAGNETYCZNYCH
WYKONANYCH DLA POTRZEB OCHRONY ŚRODOWISKA

Badany obiekt: Instalacja radiokomunikacyjna T-Mobile Polska S.A.
Numer i nazwa: 57263 (26263N!) KNO_STARYSACZ_PODEGRODZIE
Adres: STARY SĄCZ, PODEGRODZKA DZ.640, Powiat nowosądecki, WOJ. MAŁOPOLSKIE

Data wykonania pomiarów: 2022-05-11

Sprawozdanie z badań bez pisemnej zgody laboratorium nie może być powielane inaczej niż w całości.
Wynik przedstawione w niniejszym sprawozdaniu odnoszą się wyłącznie do badanego obiektu i do warunków i konfiguracji urządzeń w dniu wykonywania pomiarów.

1. Właściciel badanego obiektu:

T-Mobile Polska S.A., ul. Marynarska 12, 02-674 Warszawa

2. Zleceniodawca:

T-Mobile Polska S.A., ul. Marynarska 12, 02-674 Warszawa

3. Przedstawiciel zleceniodawcy:

NetWorkS! Sp.z o.o.

4. Zakres zlecenia:

Wykonanie badania i opracowanie sprawozdania z pomiarów natężenia pola elektrycznego i pola magnetycznego dla instalacji radiokomunikacyjnej T-Mobile Polska S.A. zlokalizowanej w miejscowości STARY SĄCZ, PODEGRODZKA DZ.640.

5. Cel zlecenia:

Wykonanie pomiarów pól elektromagnetycznych w otoczeniu instalacji radiokomunikacyjnej 57263 (26263N!) KNO_STARYSACZ_PODEGRODZIE w odniesieniu do wymagań określonych w *Rozporządzeniu Ministra Klimatu z dnia 17 lutego 2020 r. w sprawie sposobów sprawdzania dotrzymania dopuszczalnych poziomów pól elektromagnetycznych w środowisku (Dz. U. 2020, poz. 258)*.

6. Pomiary zostały wykonane przez:

7. Informacje o źródłach pól elektromagnetycznych

7.1. Sposób identyfikacji badanych źródeł pól elektromagnetycznych

Identyfikacji źródeł i parametrów technicznych dokonano na podstawie analizy dokumentacji dotyczącej zlecenia oraz obserwacji miejsca wykonywania badań.

7.2. Opis miejsca zainstalowania anten i urządzeń technicznych. Opis obiektu badań i jego otoczenia

Instalacja radiokomunikacyjna zlokalizowana jest na terenie ogrodzonym. Anteny zawieszono na wieży strunobetonowej. Urządzenia sterujące oraz zasilające zainstalowano w kontenerze u podstawy wieży. Wokół instalacji teren zielony, budynki użyteczności publicznej, teren budowy.

Instalacja radiokomunikacyjna jest obiektem bezobsługowym. Okresowe stanowiska pracy związane są z prowadzonymi w zależności od potrzeb konserwacjami, przeglądami, strojeniem i naprawami.

Sprawozdanie z badań bez pisemnej zgody laboratorium nie może być powielane inaczej niż w całości. Wynik przedstawione w niniejszym sprawozdaniu odnoszą się wyłącznie do badanego obiektu i do warunków i konfiguracji urządzeń w dniu wykonywania pomiarów.

7.3. Parametry techniczne źródła pola elektromagnetycznego

Dane przedstawiające maksymalne parametry pracy instalacji przekazane przez zleceniodawcę:

Parametry systemu nadawczo-odbiorczego:

Charakterystyka promieniowania		kierunkowa					
Rzeczywisty czas pracy [h/dobę]		24					
Warunki pracy		znamionowe					
Rodzaj wytwarzanego pola		stacjonarne					
Lp.	Częstotliwość lub zakresy częstotliwości pracy [MHz]	Typ/producent anteny	liczba anten	Azymut [°]	kąt pochylenia* [°]	Wysokość środka elektrycznego anteny [m n.p.t.]	Równoważna moc promieniowana izotropowo (EIRP) [W]
1	900	ADU4518R7 Huawei	1	110	5	61.8	3883
2	1800/2100	ADU4518R6v06 Huawei	1	110	3/3	61.8	9915
3	800/2600	ATR4518R11v06 Huawei	1	110	5/5	61.8	9953
4	900	ADU4518R7 Huawei	1	230	4	61.8	3883
5	1800/2100	ADU4518R6v06 Huawei	1	230	1/1	61.8	9915
6	800/2600	ATR4518R11v06 Huawei	1	230	4/3.5	61.8	9953
7	900	ADU4518R7 Huawei	1	335	2	61.8	3883
8	1800/2100	ADU4518R6v06 Huawei	1	335	2/2	61.8	9915
9	800/2600	ATR4518R11v06 Huawei	1	335	4/3.5	61.8	9953

* wskazane wartości kąta pochylenia anten, zgodnie z informacją uzyskaną od zleceniodawcy, są wartościami stałymi

Parametry radiolinii:

Charakterystyka promieniowania		kierunkowa					
Rzeczywisty czas pracy [h/dobę]		24					
Warunki pracy		znamionowe					
Rodzaj wytwarzanego pola		stacjonarne					
Lp.	Linia radiowa			Antena			
	Typ/ Producent	Częstotliwość pracy [GHz]	Równoważna moc promieniowana izotropowo (EIRP) [W]	Typ/ producent	Średnica anteny [m]	Azymut [°]	Wysokość zainstalowania n.p.t [m]
1.	NEC iPasolink 200 Harris Stratex	38	15	VHLP1-38 Andrew	0.3	64	59.9
2.	ERICSSON 6651 6363 Harris Stratex	80	399	ANT3_0.3 80 HP Andrew	0.3	78	59
3.	NEC iPasolink 200 Harris Stratex	38	4	VHLP1-38 Andrew	0.3	238	60
4.	RTN XMC-3E 23G 28MHz XPIC RTN 380AX DC 70/80GHz 250MHz Huawei	23/80	2345/6310	A23D80S06 Huawei	0.6	243	59.9

Sprawozdanie z badań bez pisemnej zgody laboratorium nie może być powielane inaczej niż w całości.
Wynik przedstawione w niniejszym sprawozdaniu odnoszą się wyłącznie do badanego obiektu i do warunków i konfiguracji urządzeń w dniu wykonywania pomiarów.

7.4 Inne źródła pól elektromagnetycznych

Na podstawie informacji otrzymanych od użytkownika oraz obserwacji otoczenia miejsca wykonywania pomiarów oraz stwierdzono występowanie innych źródeł pola-EM, pracujących w systemie: telefonii komórkowej (800MHz-2600MHz), linii radiowych (5GHz – 90GHz). Nie rozpoznano szczegółowych danych dotyczących parametrów technicznych źródeł pola-EM innych użytkowników.

8. Opis pomiarów

8.1. Metoda badań

Zgodna z rozporządzeniem Ministra Klimatu z dnia 17 lutego 2020 r. w sprawie sposobów sprawdzania dotrzymania dopuszczalnych poziomów pól elektromagnetycznych w środowisku (Dz. U. 2020, poz. 258), określona w pkt 25 ppkt 1 załącznika do niniejszego rozporządzenia.

Zgodnie z art. 122a ust. 1b ustawy Prawo Ochrony Środowiska, w przypadku wprowadzenia na części albo całym terytorium Rzeczypospolitej Polskiej stanu nadzwyczajnego, o którym mowa w art. 228 ust. 1 Konstytucji Rzeczypospolitej Polskiej z dnia 2 kwietnia 1997 r. (Dz. U. poz. 483, z 2001 r. poz. 319, z 2006 r. poz. 1471 oraz z 2009 r. poz. 946), lub stanu zagrożenia epidemicznego lub stanu epidemii, o których mowa w art. 46 ustawy z dnia 5 grudnia 2008 r. o zapobieganiu oraz zwalczaniu zakażeń i chorób zakaźnych u ludzi (Dz. U. z 2019 r. poz. 1239, z późn. zm.8)), pomiarów , nie przeprowadza się w lokalach mieszkalnych oraz w lokalach użytkowych zlokalizowanych na terytorium objętym stanem nadzwyczajnym, stanem zagrożenia epidemicznego lub stanem epidemii.

W związku z obecnie obowiązującym stanem epidemii, pomiarów nie wykonano w lokalach mieszkalnych oraz w lokalach użytkowych zlokalizowanych w obszarze pomiarowym przedmiotowej instalacji radiokomunikacyjnej.

8.2. Termin pomiarów i warunki środowiskowe

Podczas wykonywania pomiarów pól elektromagnetycznych nie występowały opady atmosferyczne. Wyniki pomiaru parametrów pogodowych przedstawia poniższa tabela:

Data [rrrr-mm-dd]	Godzina [hh:mm-hh:mm]	Warunki środowiskowe			
		Temperatura [°C]		Wilgotność względna [%]	
2022-05-11	09:45-10:55	Przed pomiarem	Po pomiarach	Przed pomiarem	Po pomiarach
		17.1	19.3	61.2	57.9

Przedstawione wyżej warunki środowiskowe, występujące podczas wykonywania pomiarów pól elektromagnetycznych, są zgodne ze specyfikacją techniczną użytego zestawu pomiarowego.

8.3. Warunki pracy urządzeń nadawczych

Podczas pomiarów zostały uwzględnione poprawki pomiarowe przekazane przez zleceniodawcę, umożliwiające uwzględnienie maksymalnych parametrów pracy instalacji zgodnie z pkt 7 załącznika do Rozporządzeniem Ministra Klimatu z dnia 17 lutego 2020 r. w sprawie sposobów sprawdzania dotrzymania dopuszczalnych poziomów pól elektromagnetycznych w środowisku (Dz. U. 2020, poz. 258).

8.4. Wyposażenie pomiarowe

Zestaw pomiarowy służący do pomiaru natężenia składowej elektrycznej pola elektromagnetycznego złożony z szerokopasmowego miernika i sondy pomiarowej:

Oznaczenie miernika	Producent	Model	Numer fabryczny	Oznaczenie sondy	Producent	Model	Numer fabryczny
M-17	Narda Safety Test Solution	Miernik pól elektromagnetycznych NBM-550	H-0128	S-17	Narda Safety Test Solution	Sonda EF9091	A-0056

Mierniki natężenia pola elektromagnetycznego podlegają okresowemu sprawdzeniu zgodnie z procedurą wewnętrzną P-03 i PB-01. Świadectwo wzorcowania zestawu pomiarowego z dnia 6 kwietnia 2021 o numerze LWIMP/W/114/21 wydane przez Politechnika Wrocławską.

Data ważności świadectwa wzorcowania: 6 kwietnia 2023 (zgodnie z procedurą wewnętrzną P-03).

Sprawozdanie z badań bez pisemnej zgody laboratorium nie może być powielane inaczej niż w całości.
Wynik przedstawione w niniejszym sprawozdaniu odnoszą się wyłącznie do badanego obiektu i do warunków i konfiguracji urządzeń w dniu wykonywania pomiarów.

Oznaczenie miernika	Producent	Model	Numer fabryczny	Oznaczenie sondy	Producent	Model	Numer fabryczny
M-17	Narda Safety Test Solution	Miernik pól elektromagnetycznych NBM-550	H-0128	S-18	Narda Safety Test Solution	Sonda EF0391	D-1437

Mierniki natężenia pola elektromagnetycznego podlegają okresowemu sprawdzeniu zgodnie z procedurą wewnętrzną P-03 i PB-01. Świadectwo wzorcowania zestawu pomiarowego z dnia 6 kwietnia 2021 o numerze LWiMP/W/114/21 wydane przez Politechnika Wrocławską.

Data ważności świadectwa wzorcowania: 6 kwietnia 2023 (zgodnie z procedurą wewnętrzną P-03).

Termohigrometr:

Oznaczenie:	TH-21	Producent:	AZ INSTRUMENT CORP	Model:	Termohigrometr AZ8706
-------------	-------	------------	--------------------	--------	-----------------------

Data ważności świadectwa wzorcowania: 17 grudnia 2023 (zgodnie z procedurą wewnętrzną P-03).

Dalmierz:

Oznaczenie	Producent	Typ	Numer seryjny	Nr świadectwa wzorcowania	Data świadectwa wzorcowania
D-12	Leica	Dalmierz Leica Disto D510	1050632837	4665.2-M11-4180-1748/15	27 listopada 2015

Data ważności świadectwa wzorcowania: 27 listopada 2025 (zgodnie z procedurą wewnętrzną P-03).

9. Wyniki pomiarów

Pole elektryczne

Nr pionu	Opis umiejscowienia pionu (punktu) pomiarowego	Wysokość pomiaru [m]	Zmierzona wartość natężenia pola elektrycznego E [V/m] ^{1,5}			Wartość natężenia pola elektrycznego po uwzględnieniu poprawek pomiarowych powiększona o niepewność pomiaru ⁴ E [V/m]	Wskaźnikowa wartość poziomu emisji pól elektromagnetycznych WME ³	Współrzędne geograficzne pionu (punktu) pomiarowego ²
			Sonda S-17	Sonda S-18	SUMA			
1	GKP w odległości 8m od anteny sektorowej az. 335°	2,0	1,3	1,3	1,3	2.7	0.1	49°34'14.52" 20°37'5.52"
2	GKP w odległości 30m od anteny sektorowej az. 335°	2,0	1,4	1,4	1,4	3	0.11	49°34'15.24" 20°37'4.799"
3	GKP w odległości 55m od anteny sektorowej az. 335°	2,0	1,3	1,3	1,3	2.7	0.1	49°34'15.96" 20°37'4.439"
4	GKP w odległości 86m od anteny sektorowej az. 335°	2,0	1,2	1,2	1,2	2.5	0.09	49°34'16.68" 20°37'3.719"
5	GKP w odległości 8m od anteny sektorowej az. 110°	2,0	1,3	1,3	1,3	2.7	0.1	49°34'14.159" 20°37'6.24"
6	GKP w odległości 30m od anteny sektorowej az. 110°	2,0	1,3	1,3	1,3	2.7	0.1	49°34'13.8" 20°37'6.96"
7	GKP w odległości 60m od anteny sektorowej az. 110°	1,8	1,2	1,2	1,2	2.5	0.09	49°34'13.439" 20°37'8.399"
8	GKP w odległości 87m od anteny sektorowej az. 110°	0,3-2,0	<1,0	<1,0	<1,0	2.1	0.08	49°34'13.08" 20°37'9.839"
9	GKP w odległości 5m od anteny sektorowej az. 230°	2,0	1,3	1,3	1,3	2.7	0.1	49°34'14.159" 20°37'5.52"

Sprawozdanie z badań bez pisemnej zgody laboratorium nie może być powielane inaczej niż w całości.

Wynik przedstawione w niniejszym sprawozdaniu odnoszą się wyłącznie do badanego obiektu i do warunków i konfiguracji urządzeń w dniu wykonywania pomiarów.

10	GKP w odległości 30m od anteny sektorowej az. 230°	2,0	1,3	1,3	1,3	2.7	0.1	49°34'13.439" 20°37'4.439"
11	GKP w odległości 55m od anteny sektorowej az. 230°	2,0	1,2	1,2	1,2	2.5	0.09	49°34'13.08" 20°37'3.359"
12	GKP w odległości 89m od anteny sektorowej az. 230°	2,0	1,5	1,5	1,5	3.2	0.11	49°34'12.359" 20°37'2.28"
13	GKP w odległości 8m od anteny radioliniowej az. 243°, 238°	2,0	1,2	1,2	1,2	2.5	0.09	49°34'14.159" 20°37'5.159"
14	GKP w odległości 29m od anteny radioliniowej az. 243°	2,0	1,2	1,2	1,2	2.5	0.09	49°34'13.8" 20°37'4.439"
15	GKP w odległości 55m od anteny radioliniowej az. 243°	0,3-2,0	<1,0	<1,0	<1,0	2.1	0.08	49°34'13.439" 20°37'2.999"
16	GKP w odległości 47m od anteny radioliniowej az. 238°	2,0	1,2	1,2	1,2	2.5	0.09	49°34'13.439" 20°37'3.719"
17	GKP w odległości 20m od anteny radioliniowej az. 238°	2,0	1,2	1,2	1,2	2.5	0.09	49°34'13.8" 20°37'4.799"
18	GKP w odległości 6m od anteny radioliniowej az. 64°	2,0	1,3	1,3	1,3	2.7	0.1	49°34'14.159" 20°37'5.88"
19	GKP w odległości 10m od anteny radioliniowej az. 78°	2,0	1,3	1,3	1,3	2.7	0.1	49°34'14.159" 20°37'6.24"
20	GKP w odległości 28m od anteny radioliniowej az. 64°	0,3-2,0	<1,0	<1,0	<1,0	2.1	0.08	49°34'14.52" 20°37'6.96"
21	GKP w odległości 50m od anteny radioliniowej az. 64°	2,0	1,2	1,2	1,2	2.5	0.09	49°34'14.879" 20°37'8.039"
22	GKP w odległości 27m od anteny radioliniowej az. 78°	2,0	1,4	1,4	1,4	3	0.11	49°34'14.159" 20°37'6.96"
23	GKP w odległości 50m od anteny radioliniowej az. 78°	0,3-2,0	<1,0	<1,0	<1,0	2.1	0.08	49°34'14.52" 20°37'8.039"
24	PPP na az. 21° w odległości 44m od anteny radioliniowej az. 64°	2,0	1,3	1,3	1,3	2.7	0.1	49°34'15.599" 20°37'6.6"
25	PPP na az. 354° w odległości 71m od anteny sektorowej az. 335°	0,3-2,0	<1,0	<1,0	<1,0	2.1	0.08	49°34'16.319" 20°37'5.159"
26	PPP na az. 308° w odległości 71m od anteny sektorowej az. 335°	0,3-2,0	<1,0	<1,0	<1,0	2.1	0.08	49°34'15.599" 20°37'2.999"
27	PPP na az. 266° w odległości 76m od anteny radioliniowej az. 243°	0,3-2,0	<1,0	<1,0	<1,0	2.1	0.08	49°34'14.159" 20°37'1.92"
28	PPP na az. 202° w odległości 83m od anteny	2,0	1,2	1,2	1,2	2.5	0.09	49°34'11.639" 20°37'4.079"

Sprawozdanie z badań bez pisemnej zgody laboratorium nie może być powielane inaczej niż w całości.
Wynik przedstawione w niniejszym sprawozdaniu odnoszą się wyłącznie do badanego obiektu i do warunków i konfiguracji urządzeń w dniu wykonywania pomiarów.

	radioliniowej az. 238°							
29	PPP na az. 185° w odległości 47m od anteny radioliniowej az. 238°	2,0	1,2	1,2	1,2	2.5	0.09	49°34'12.719" 20°37'5.52"
30	PPP na az. 132° w odległości 75m od anteny sektorowej az. 110°	2,0	1,2	1,2	1,2	2.5	0.09	49°34'12.359" 20°37'8.399"
-	GKP w odległości 982m od anteny sektorowej az. 335°	0,3-2,0	<1,0	<1,0	<1,0	2.1	0.08	49°34'42.96" 20°36'45"
-	GKP w odległości 330m od anteny sektorowej az. 335°	0,3-2,0	<1,0	<1,0	<1,0	2.1	0.08	49°34'23.88" 20°36'58.679"
-	GKP w odległości 640m od anteny sektorowej az. 230°	0,3-2,0	<1,0	<1,0	<1,0	2.1	0.08	49°34'0.839" 20°36'41.039"
-	GKP w odległości 624m od anteny sektorowej az. 110°	0,3-2,0	<1,0	<1,0	<1,0	2.1	0.08	49°34'7.319" 20°37'35.04"

Pole magnetyczne (wyznaczone na podstawie pomiaru wartości natężenia pola elektrycznego)

Nr pionu	Opis umiejscowienia pionu (punktu pomiarowego)	Wysokość pomiaru [m]	Wartość natężenia pola magnetycznego H [A/m] ¹			Wartość natężenia pola magnetycznego po uwzględnieniu poprawek pomiarowych powiększona o niepewność pomiaru ⁴ H [A/m]	Wskaźnikowa wartość poziomu emisji pól elektromagnetycznych WM _H ³	Współrzędne geograficzne pionu (punktu pomiarowego) ²
			Sonda S-17	Sonda S-18	SUMA			
1	GKP w odległości 8m od anteny sektorowej az. 335°	2,0	0.003	0.003	0.003	0.007	0.1	49°34'14.52" 20°37'5.52"
2	GKP w odległości 30m od anteny sektorowej az. 335°	2,0	0.004	0.004	0.004	0.008	0.11	49°34'15.24" 20°37'4.799"
3	GKP w odległości 55m od anteny sektorowej az. 335°	2,0	0.003	0.003	0.003	0.007	0.1	49°34'15.96" 20°37'4.439"
4	GKP w odległości 86m od anteny sektorowej az. 335°	2,0	0.003	0.003	0.003	0.007	0.09	49°34'16.68" 20°37'3.719"
5	GKP w odległości 8m od anteny sektorowej az. 110°	2,0	0.003	0.003	0.003	0.007	0.1	49°34'14.159" 20°37'6.24"
6	GKP w odległości 30m od anteny sektorowej az. 110°	2,0	0.003	0.003	0.003	0.007	0.1	49°34'13.8" 20°37'6.96"
7	GKP w odległości 60m od anteny sektorowej az. 110°	1,8	0.003	0.003	0.003	0.007	0.09	49°34'13.439" 20°37'8.399"
8	GKP w odległości 87m od anteny sektorowej az. 110°	0,3-2,0	<0.003*	<0.003*	<0.003*	0.006	0.08	49°34'13.08" 20°37'9.839"
9	GKP w odległości 5m od anteny sektorowej az. 230°	2,0	0.003	0.003	0.003	0.007	0.1	49°34'14.159" 20°37'5.52"
10	GKP w odległości	2,0	0.003	0.003	0.003	0.007	0.1	49°34'13.439"

Sprawozdanie z badań bez pisemnej zgody laboratorium nie może być powielane inaczej niż w całości.
Wynik przedstawione w niniejszym sprawozdaniu odnoszą się wyłącznie do badanego obiektu i do warunków i konfiguracji urządzeń w dniu wykonywania pomiarów.

	30m od anteny sektorowej az. 230°							20°37'4.439"
11	GKP w odległości 55m od anteny sektorowej az. 230°	2,0	0.003	0.003	0.003	0.007	0.09	49°34'13.08" 20°37'3.359"
12	GKP w odległości 89m od anteny sektorowej az. 230°	2,0	0.004	0.004	0.004	0.008	0.12	49°34'12.359" 20°37'2.28"
13	GKP w odległości 8m od anteny radioliniowej az. 243°, 238°	2,0	0.003	0.003	0.003	0.007	0.09	49°34'14.159" 20°37'5.159"
14	GKP w odległości 29m od anteny radioliniowej az. 243°	2,0	0.003	0.003	0.003	0.007	0.09	49°34'13.8" 20°37'4.439"
15	GKP w odległości 55m od anteny radioliniowej az. 243°	0,3-2,0	<0.003*	<0.003*	<0.003*	0.006	0.08	49°34'13.439" 20°37'2.999"
16	GKP w odległości 47m od anteny radioliniowej az. 238°	2,0	0.003	0.003	0.003	0.007	0.09	49°34'13.439" 20°37'3.719"
17	GKP w odległości 20m od anteny radioliniowej az. 238°	2,0	0.003	0.003	0.003	0.007	0.09	49°34'13.8" 20°37'4.799"
18	GKP w odległości 6m od anteny radioliniowej az. 64°	2,0	0.003	0.003	0.003	0.007	0.1	49°34'14.159" 20°37'5.88"
19	GKP w odległości 10m od anteny radioliniowej az. 78°	2,0	0.003	0.003	0.003	0.007	0.1	49°34'14.159" 20°37'6.24"
20	GKP w odległości 28m od anteny radioliniowej az. 64°	0,3-2,0	<0.003*	<0.003*	<0.003*	0.006	0.08	49°34'14.52" 20°37'6.96"
21	GKP w odległości 50m od anteny radioliniowej az. 64°	2,0	0.003	0.003	0.003	0.007	0.09	49°34'14.879" 20°37'8.039"
22	GKP w odległości 27m od anteny radioliniowej az. 78°	2,0	0.004	0.004	0.004	0.008	0.11	49°34'14.159" 20°37'6.96"
23	GKP w odległości 50m od anteny radioliniowej az. 78°	0,3-2,0	<0.003*	<0.003*	<0.003*	0.006	0.08	49°34'14.52" 20°37'8.039"
24	PPP na az. 21° w odległości 44m od anteny radioliniowej az. 64°	2,0	0.003	0.003	0.003	0.007	0.1	49°34'15.599" 20°37'6.6"
25	PPP na az. 354° w odległości 71m od anteny sektorowej az. 335°	0,3-2,0	<0.003*	<0.003*	<0.003*	0.006	0.08	49°34'16.319" 20°37'5.159"
26	PPP na az. 308° w odległości 71m od anteny sektorowej az. 335°	0,3-2,0	<0.003*	<0.003*	<0.003*	0.006	0.08	49°34'15.599" 20°37'2.999"
27	PPP na az. 266° w odległości 76m od anteny radioliniowej az. 243°	0,3-2,0	<0.003*	<0.003*	<0.003*	0.006	0.08	49°34'14.159" 20°37'1.92"
28	PPP na az. 202° w odległości 83m od anteny radioliniowej az. 238°	2,0	0.003	0.003	0.003	0.007	0.09	49°34'11.639" 20°37'4.079"
29	PPP na az. 185° w	2,0	0.003	0.003	0.003	0.007	0.09	49°34'12.719"

Sprawozdanie z badań bez pisemnej zgody laboratorium nie może być powielane inaczej niż w całości.
Wynik przedstawione w niniejszym sprawozdaniu odnoszą się wyłącznie do badanego obiektu i do warunków i konfiguracji urządzeń w dniu wykonywania pomiarów.

	odległości 47m od anteny radioliniowej az. 238°							20°37'5.52"
30	PPP na az. 132° w odległości 75m od anteny sektorowej az. 110°	2,0	0.003	0.003	0.003	0.007	0.09	49°34'12.359" 20°37'8.399"
-	GKP w odległości 982m od anteny sektorowej az. 335°	0,3-2,0	<0.003*	<0.003*	<0.003*	0.006	0.08	49°34'42.96" 20°36'45"
-	GKP w odległości 330m od anteny sektorowej az. 335°	0,3-2,0	<0.003*	<0.003*	<0.003*	0.006	0.08	49°34'23.88" 20°36'58.679"
-	GKP w odległości 640m od anteny sektorowej az. 230°	0,3-2,0	<0.003*	<0.003*	<0.003*	0.006	0.08	49°34'0.839" 20°36'41.039"
-	GKP w odległości 624m od anteny sektorowej az. 110°	0,3-2,0	<0.003*	<0.003*	<0.003*	0.006	0.08	49°34'7.319" 20°37'35.04"

GKP – Główny Kierunek Pomiarowy

PPP – Pomocniczy Pion pomiarowy

¹ wyniki oznaczone * są wynikami poniżej czułości zestawu pomiarowego

² współrzędne geograficzne pozyskane metodą obliczeniową w oparciu o pomiar punktu referencyjnego

³ do wyznaczenia wartości wskaźnikowej W_{ME} i W_{MH} przyjęto na podstawie uzgodnień z klientem oraz rozpoznania źródeł, jako wartości dopuszczalne pola elektrycznego i magnetycznego odpowiednio 28 V/m i 0,073 A/m.

⁴ do wyznaczenia niepewności dla wyników poniżej czułości zestawu pomiarowego, przyjęto niepewność dla minimalnej wartości z zakresu pomiarowego.

⁵ maksymalna wartość chwilowa

Niepewność oszacowano zgodnie z dokumentem P-03 „Procedura nadzoru nad wyposażeniem” w postaci niepewności rozszerzonej wynikającej z niepewności standardowej pomnożonej przez współczynnik rozszerzenia $k=2$.

Całkowita szacowana niepewność rozszerzona składowej E wynosi odpowiednio:

sonda S-17: 28% dla częstotliwości do 3 GHz, sonda S-18: 27.2% dla częstotliwości do 3 GHz

Dla przedmiotowych pomiarów zleceniodawca określił poprawkę pomiarową = 1.65.

Umieszczenie pionów (punktów) pomiarowych przedstawiono w nr 2 do niniejszego sprawozdania.

10. Omówienie wyników pomiarów

Wyniki pomiarów uzyskane zostały przy uwzględnieniu poprawek pomiarowych przekazanych przez zleceniodawcę, umożliwiających uwzględnienie maksymalnych parametrów pracy instalacji zleceniodawcy oraz innych operatorów występujących w obszarze pomiarowym.

W wyniku zastosowania sposobu sprawdzenia dotrzymania dopuszczalnych poziomów pól elektromagnetycznych w środowisku, zgodnie pkt 25 ppkt 1 Rozporządzenia Ministra Klimatu z dnia 17 lutego 2020 r. (Dz. U. 2020, poz. 258), w związku z tym, że żadna z wartości wskaźnikowych, udokumentowanych w tabelach w pkt. 9 nie przekracza wartości 1, stwierdza się, że w miejscach, w których wykonano pomiary w otoczeniu instalacji radiokomunikacyjnej 57263 (26263N!) KNO_STARYSACZ_PODEGRODZIE, dopuszczalne poziomy pól elektromagnetycznych w środowisku należy uznać za dotrzymane.

11. Podstawa prawna

- 1) Ustawa z dnia 27 kwietnia 2001 r. Prawo ochrony środowiska (t. j. Dz. U. z 2021 r., poz. 1973 z późn.zm.)
- 2) Rozporządzenie Ministra Zdrowia z dnia 17 grudnia 2019 r. w sprawie dopuszczalnych poziomów pól elektromagnetycznych w środowisku (Dz. U. 2019, poz. 2448)
- 3) Rozporządzenie Ministra Klimatu z dnia 17 lutego 2020 r. w sprawie sposobów sprawdzania dotrzymania dopuszczalnych poziomów pól elektromagnetycznych w środowisku (Dz. U. 2020, poz. 258),
- 4) Akredytacja nr AB 419 wydana przez Polskie Centrum Akredytacji (wydanie 19, z dnia 28 lutego 2022r.).

Sprawozdanie z badań bez pisemnej zgody laboratorium nie może być powielane inaczej niż w całości.

Wynik przedstawione w niniejszym sprawozdaniu odnoszą się wyłącznie do badanego obiektu i do warunków i konfiguracji urządzeń w dniu wykonywania pomiarów.

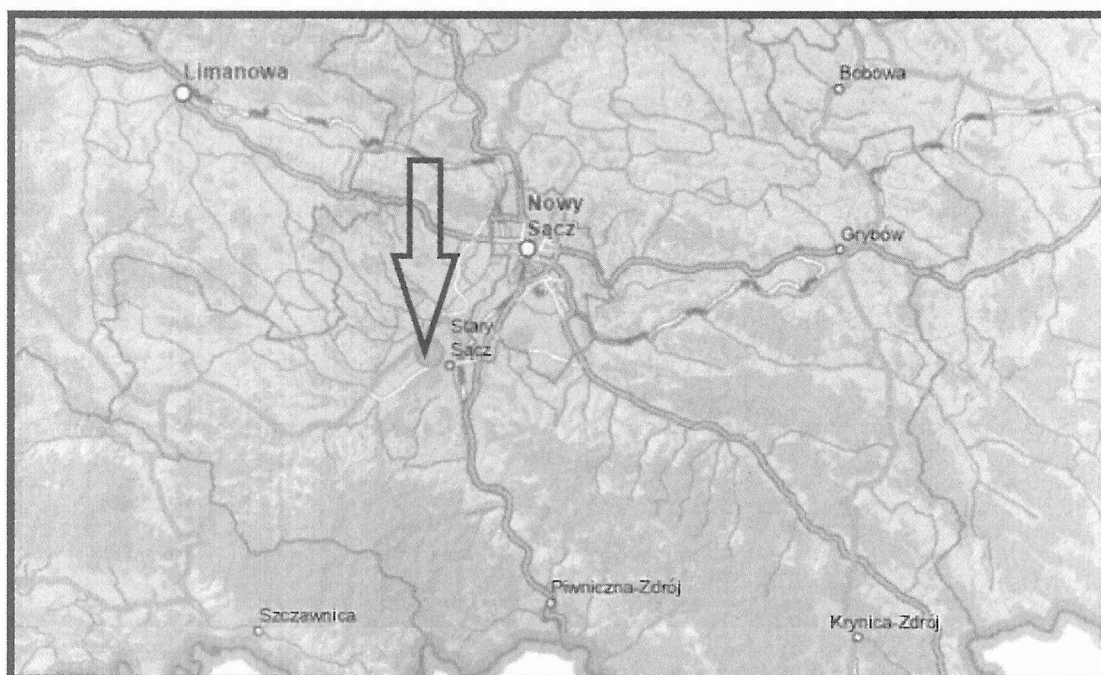
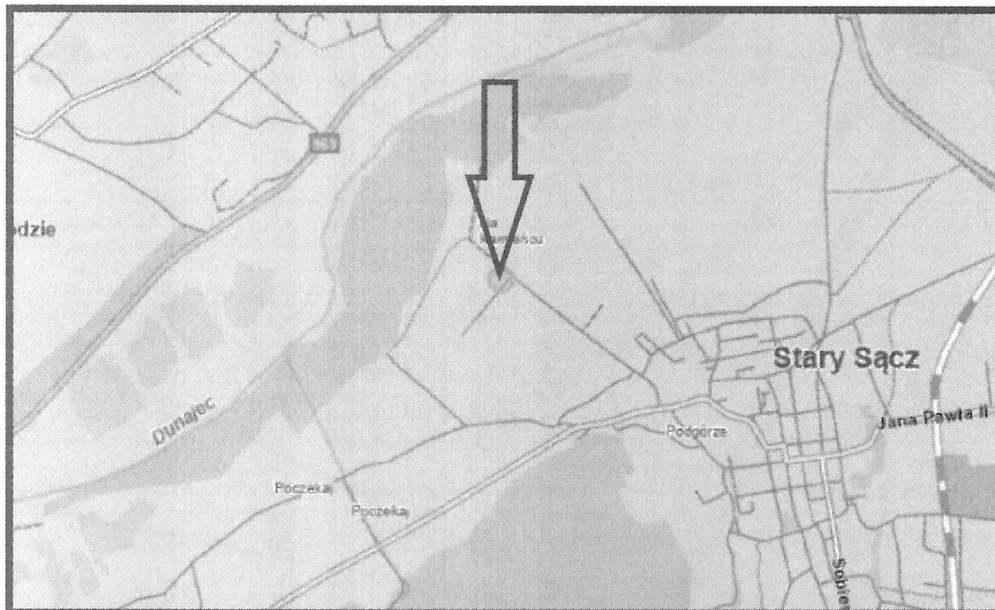
12. Spis załączników

- Załącznik 1. Lokalizacja obiektu badań
- Załącznik 2. Usytuowanie pionów (punktów) pomiarowych
- Załącznik 3. Dokumentacja fotograficzna obiektu badań

13. Data wydania i autoryzowania sprawozdania

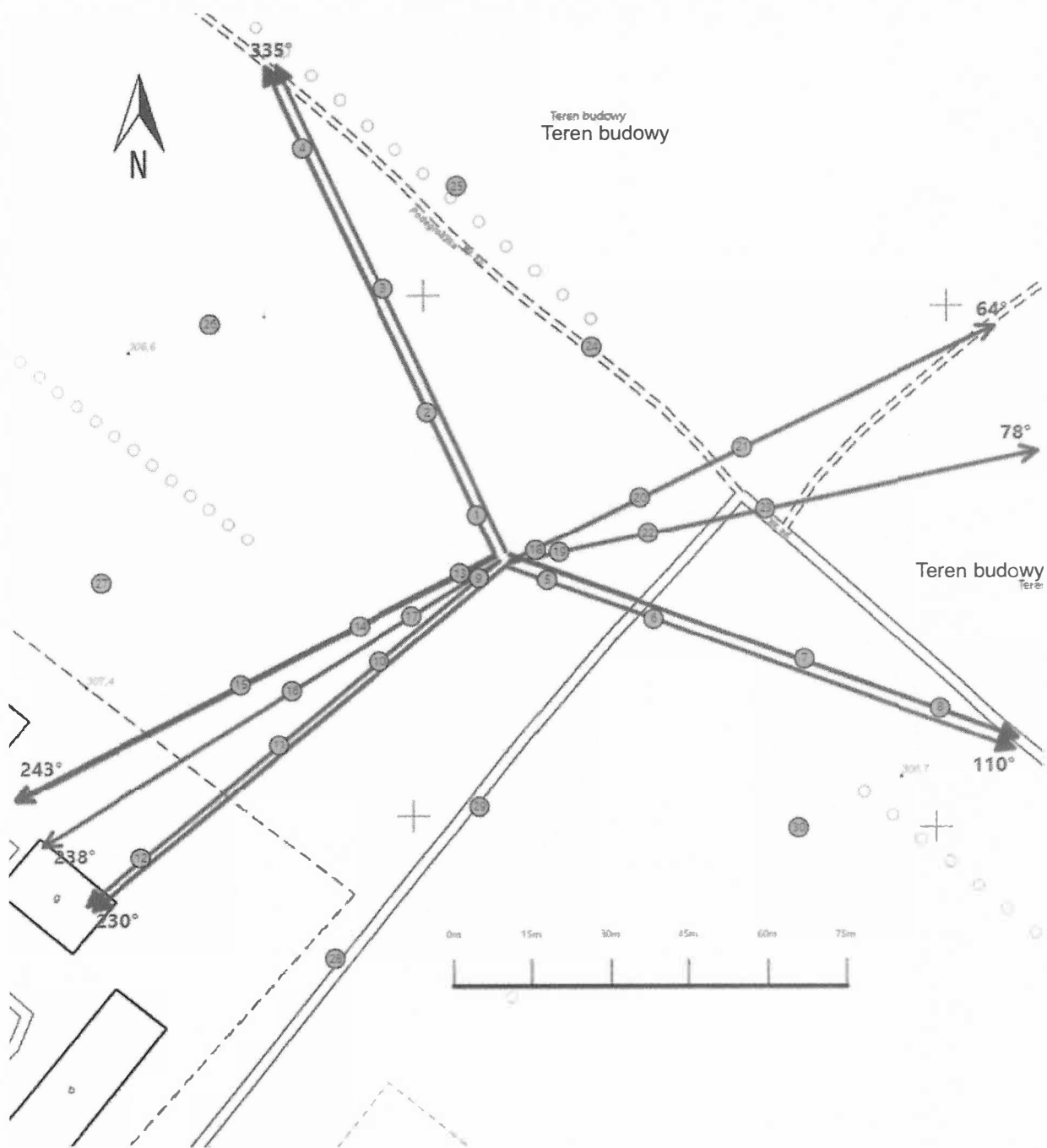
Koniec sprawozdania




Sprawozdanie z badań bez pisemnej zgody laboratorium nie może być powielane inaczej niż w całości.
Wynik przedstawione w niniejszym sprawozdaniu odnoszą się wyłącznie do badanego obiektu i do warunków i konfiguracji urządzeń w dniu wykonywania pomiarów.

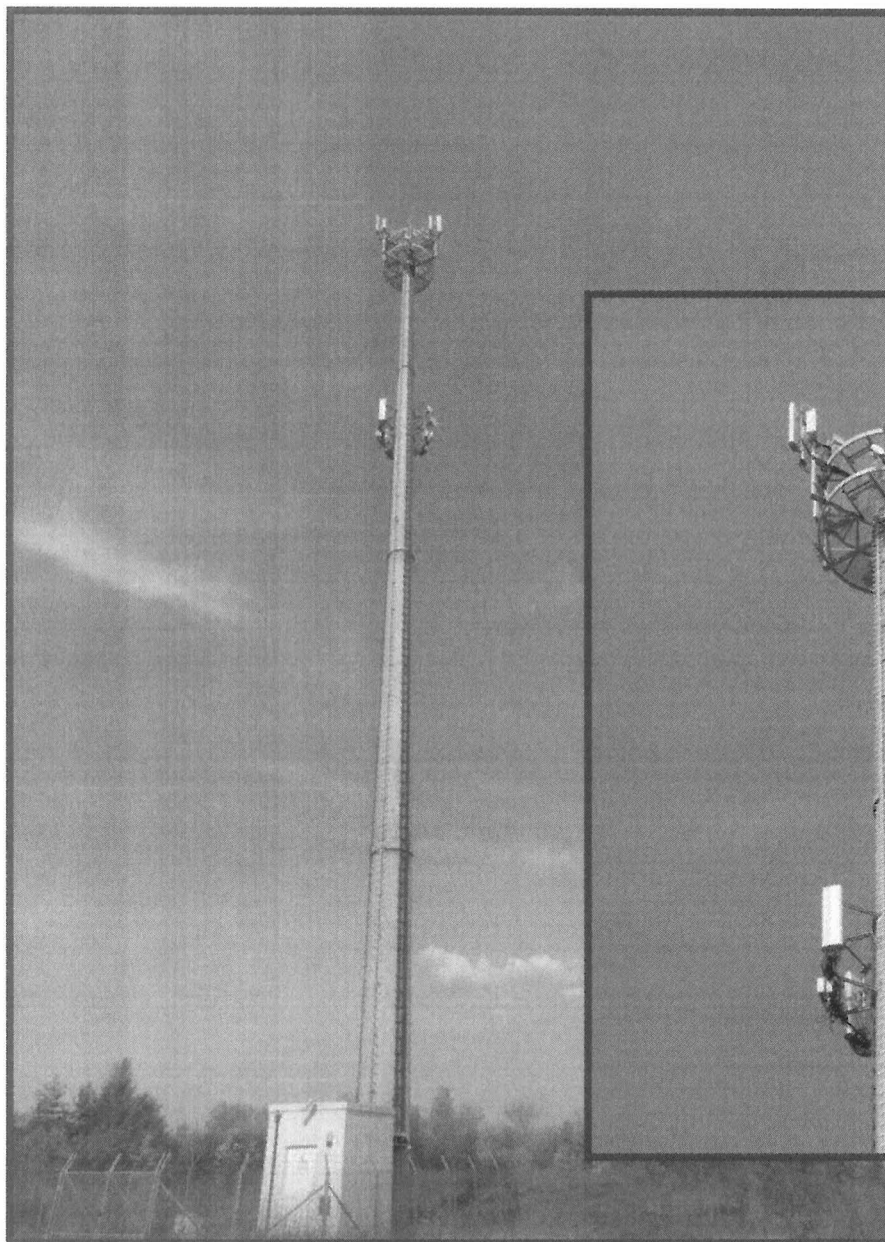


Załącznik nr 1	INSTALACJA RADIOKOMUNIKACYJNA T-Mobile Polska S.A. 57263 (26263N!) KNO_STARYSACZ_PODEGRODZIE Lokalizacja instalacji radiokomunikacyjnej
----------------	---

Sprawozdanie z badań bez pisemnej zgody laboratorium nie może być powielane inaczej niż w całości.
 Wynik przedstawione w niniejszym sprawozdaniu odnoszą się wyłącznie do badanego obiektu i do warunków i konfiguracji urządzeń w dniu wykonywania pomiarów.



Załącznik nr 2	<p style="text-align: center;">Instalacja radiokomunikacyjna T-Mobile Polska S.A. KNO_STARYSACZ_PODEGRODZIE (26263N!) Usytuowanie pionów pomiarowych w otoczeniu instalacji radiokomunikacyjnej</p>
	<p>Legenda:</p> <div style="display: flex; justify-content: space-around; align-items: center;"> <div style="text-align: center;">  Pion pomiarowy </div> <div style="text-align: center;">  Kierunek oddziaływania anten sektorowych </div> <div style="text-align: center;">  Kierunek oddziaływania anten radioliniowych </div> </div>



Załącznik nr 3

INSTALACJA RADIOKOMUNIKACYJNA T-Mobile Polska S.A. 57263 (26263N!) KNO_STARYSACZ_PODEGRODZIE

Zdjęcia instalacji radiokomunikacyjnej

Sprawozdanie z badań bez pisemnej zgody laboratorium nie może być powielane inaczej niż w całości.
Wynik przedstawione w niniejszym sprawozdaniu odnoszą się wyłącznie do badanego obiektu i do warunków i konfiguracji urządzeń w dniu wykonywania pomiarów.